外ケーブル方式 T 形断面 P C 桁のせん断破壊性状に及ぼす初期プレストレス導入量の影響

 JR 東日本
 東京工事事務所
 正会員
 青木大地

 JR 東日本
 東京工事事務所
 正会員
 藤原寅士良

 JR 東日本
 建設工事部
 正会員
 木野淳一

 JR 東日本
 建設工事部
 正会員
 小林薫

1.はじめに

外ケーブルを用いた PC 構造は内ケーブル式に比べ、施工性の向上、ケーブル維持管理の容易性および構造物の軽量化等の観点から、新設構造物に採用されているほか、既設構造物の補強工法としても用いられている。しかしながら外ケーブルを用いたPC 構造のせん断破壊性状は未だ不明な点が多く、設計方法も十分に確立されていないのが現状である。そこで、本研究では外ケーブルを用いた T 形断面PC 桁について、供試体を製作し、2点載荷による静的載荷実験を行った。本報告では、初期プレストレス導入量がせん断破壊性状に及ぼす影響について検討を行った。

2.実験概要および供試体諸元

実験に用いた供試体の形状寸法を図1に示す。実験に用いた供試体断面は定着部のみ矩形断面、他は T形断面であり、支間長は4000mmとした。供試体のPC鋼材は、SBPR 930/1080B種1号で 32と 17 の2種類を使用した。 32 は供試体下縁から 50mm の位置に配置し、 17 は供試体上縁への引 張力が過大となり上フランジ部での引張破壊を防ぐために断面図心位置に配置した。また PC 鋼材は支間途中に偏向部は設けず、定着端間を直線配置とした。供試体の断面の引張鋼材は、曲げ耐力を増大させ、せん断破壊が生じるように、異形 PC 鋼棒 D25を供試体下縁 50mm の位置に 1 本配置した。上フランジ部は、圧縮鉄筋として SD295A D13 を 4 本配置した。コンクリート強度は、50N/mm² を設計基準強度とした。また、供試体の諸元を表 1 に示す。

3.実験結果

3.1破壊性状

実験結果から同様な破壊性状を表 2、写真 1、 2に示すように 2つに分類する。RC 構造である case 1 と、初期プレストレス導入量が 200kN である case 3 の破壊性状を比較すると、case 1 の方が曲げひび割れが若干多く見られたものの両供試体とも Type の破壊性状を示した。次に、初期プレストレス導入量を変化させた供試体である case 2 ~ case 6 の破壊性状を比較する。初期プレストレス導入量が合計 0、200kN、400kN である case 2 ~ case 3 、case 4 は Type

の破壊性状を示したのに対し、初期プレストレス (点線部は供試体により異なる) 導入量が合計 600kN、800kN であ 4000 4700 異形鉄筋 PC 鋼棒 供試体諸元 表1 初期プレストレス 初期プレストレス導入量 供試体名 導入量 32 (kN) 17 (図心位置)(kN) case1 case2 0 0 case3 200 PC 鋼棒 PC 鋼棒 200 200 case4 D25 80 300 case5 300 断面図(支間中央) 断面図(端部) 400 case6 PC鋼棒は配置していない 図1 供試体の形状(単位:mm)

キーワード:外ケーブル方式、初期プレストレス導入量、荷重変位曲線 東京都渋谷区代々木2丁目2番6号 JR 新宿ビル・TEL(03)3379-4353・FAX(03)3372-7980

表 2 破壊性状総括

破壊性状タイプ	該当供試体	破壊状況	
Type	case1, case2, case3, case4	曲げひび割れが多く見られた後、せん断圧縮破壊となり載荷点と支点を結ぶ破壊面が形成された。	
Туре		曲げひび割れが発生するがそれほど多くなく、最終的にはせん断圧縮破壊と なって上フランジL/4箇所と支点を結ぶ破壊面が形成された。	

る case5、case6 は Type の破壊性状を示した。初期プレストレス導入量が増加すると、PC 鋼棒定着端部 (矩形断面下縁より 50mm の位置) での圧縮力が大きくなり、また荷重による鉛直方向の力が作用することから桁が変形する。桁の変形に伴い破壊側 L/4 箇所の上フランジ部分に大きな引張力が発生すると考えられる。そのため、初期プレストレス導入量が大きい供試体は、載荷点と破壊側 L/4 箇所の上フランジ部分を結ぶ大きな斜めひび割れが発生したと思われる。

3.2荷重変位曲線

表3に実験結果を、またそれぞれの供試体におけ る荷重変位曲線を図2に示す。RC 構造である case1 と PC 構造である case $2 \sim 6$ の最大荷重を比較すると、 PC 構造の方が RC 構造よりもせん断耐力が増加し ている。また破壊時直前の変位については、RC 構 造の方が PC 構造よりも大きくなっている。初期プ レストレス導入量の違いに着目してみると (case2 ~6) 破壊時直前の変位は、初期プレストレス導入 量が大きいほど小さくなっている。最大荷重につい て、初期プレストレス導入量が 0、200kN である case2、case3 は約 340kN、初期プレストレス導入 量が400kN、600kNであるcase4、case5は約360kN、 初期プレストレス導入量が 800kN である case6 は 約 400kN であることから、初期プレストレス導入 量が大きいほど、せん断耐力も増加していることが 分かる。次に荷重変位曲線から、破壊性状が Type 、初期プレストレス導入量が 200kN、400kN で ある case3、case4 の挙動は、約 150kN で曲げひび

り、その後、斜め
ひび割れが発生し
た時点での荷重が
若干異なっている
ことを除けば同様
な傾向である。

割れが発生してお

	まる 美級船 最大荷重 (kN)	破壊時直前 変位 (mm)
case1	189	26
case2	343	22
case3	338	15
case4	363	17
case5	360	12
case6	403	8

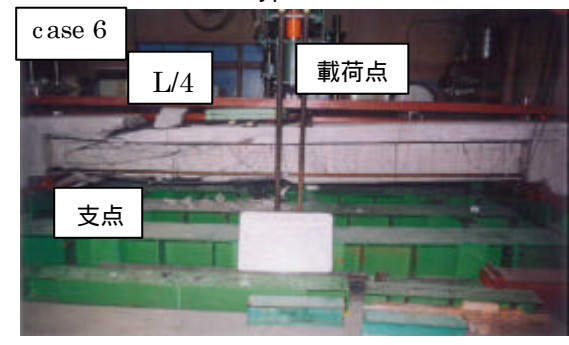
主っ 中胚仕田

4.まとめ

本研究から以下のようなことがわかった。



写真 1 Type 破壊状況



破壊状況 写真 2 Type 450 case6 400 case5 case4 case2 350 300 **⊋** 250 置200 case1case3 150 100 50 变位 (mm) 図 2 荷重変位曲線

- (1)初期プレストレス導入量が0、200kN、400kN である case2、case3、case4 供試体は Type の破壊性状を、また 600kN、800kN であ る case5、case6 供試体は Type の破壊性状 をそれぞれ示した。
- (2)初期プレストレス導入量が大きいほど破壊 時直前の変位は小さく、せん断耐力は増加す る。
- (3)初期プレストレス導入量が 200kN、400kNである case3、case4 の挙動は、斜めひび割れ発生時点を除けば同様な傾向である。